

確率積分の逆関数について

電 総 研 戸 田 英 雄
慶 大 工 竹 内 寿一郎

§ 1. 序

もっとも基本的と思われる連続型統計分布である正規分布、 χ^2 分布、 t 分布、 F 分布について、これまでその展開式、近似式などを検討してきた結果、確率積分については自由度がかなり大きい場合を除き、正確な積分値が容易に得られることがたしかめられた。そこで次にその逆関数であるパーセント点を求める方法について検討を加えてみた。

以下 § 2 では確率積分の逆関数についての一般的な解法について簡単に述べ、§ 3 ではその例として正規分布、 t 分布をとりあげ、§ 4 では山内が Campbell の方法 [7] を改良した解法を非心 t 分布に関して詳しく述べ、最後に統計的な推定検定の基本分布に関する計算機のライブラリ構成について § 5 でとりあげることにする。

ここでは正規分布に対して次のようないわゆる記号を用いることとする。

する。

$$\Phi(u) = \int_{-\infty}^u \frac{1}{\sqrt{2\pi}} e^{-\frac{x^2}{2}} dx = \int_{-\infty}^u \phi(x) dx$$

§ 2. 確率積分の逆関数

2.1. 逆転法 (1)

統計分布の極限分布あるいは近似分布として正規分布がよくあらわれる。密度関数が $f(x)$ である変量 x の関数 $g(x)$ が近似的に標準正規分布 $N(0, 1^2)$ に従うとすれば

$$P(x) = \int_{-\infty}^x f(t) dt = \Phi(u) \quad \text{ただし } u = g(x)$$

となりその逆関数は

$$x = g^{-1}(u) \tag{1}$$

であらわされ、 $g(x)$ が簡単な関数であれば容易にハーセント点の近似式を求めることができる。

また 2 つの変量 x, y がそれぞれ独立でしかも近似的に正規分布 $N(\mu_x, \sigma_x^2), N(\mu_y, \sigma_y^2)$ に従うとき、 $v = x/y$ とする

$$u = \frac{v\mu_y - \mu_x}{\sqrt{v^2\sigma_y^2 + \sigma_x^2}} \tag{2}$$

は近似的に標準正規分布 $N(0, 1^2)$ に従う。[6]。

この式を逆転すれば分布 η のパーセント点の近似式が得られる。

2.2. 逆転法 (2) [4]

χ^2 分布, t 分布, F 分布およびそれらの非心分布そしてベータ分布に関する、山内は一貫した方法で確率積分の逆関数を求めている。ある変量 x の密度関数を $f(x)$, $y = g(x)$ として、 y の確限分布の密度関数を $h(y)$ とする。まず確率積分を y の多項式で近似する。

$$P(x) = H(y) + y h(y) \sum_{i=0}^{\infty} \frac{1}{\alpha^i} T_i(y) \quad (3)$$

ここで $H(y) = \int_{-\infty}^y h(t) dt$, $T_i(y)$ は y の多項式, α はパラメータである。

つまり $T = \sum_{i=0}^{\infty} 1/\alpha^i T_i^*(y)$ とおき, $y_0 = y + yT$ とすれば $H(y_0)$ をテラ展開すると

$$H(y_0) = H(y) + y h(y) T + \frac{1}{2!} (Ty)^2 h'(y) + \dots \quad (4)$$

(3), (4)から $1/\alpha^i$ の係数を比較すると (5)

$$P(x) = H(y_0), \quad y_0 = y + y \sum_{i=0}^{\infty} \frac{1}{\alpha^i} T_i^*(y) \quad (5)$$

を得る。さて (5) の左式を逆転し、逆関数を求める。

$$y = y_0 + y_0 \sum_{i=0}^{\infty} 1/\alpha^i S_i(y_0) \quad (6)$$

としてとく得られる3恒等式

$$y \sum_{i=0}^{\infty} \frac{1}{\alpha^i} T_i^*(y) - y_0 \sum_{i=0}^{\infty} \frac{1}{\alpha^i} S_i(y_0) = 0 \quad (7)$$

において $1/\alpha^i$ の係数を算しいとれて (5) で求められた $T_i^*(y)$
及 (6) を代入して $S_i(y_0)$ を得ることができる。そして

$$x = g^{-1}(y), \quad y = y_0 + \sum_{i=0}^{\infty} \frac{1}{\alpha^i} S_i(y_0) \quad (8)$$

が求める逆関数となる。

2.3. ニュートン・ラフソン法による数値解法

$P(x) = p$ を満たすパーセント点 x_p をニュートンラフソン法で求めると、

$$x_{i+1} = x_i - \frac{P(x_i) - p}{f(x_i)} \quad i = 0, 1, 2, \dots \quad (9)$$

なる反復を行なうことになる。たゞし $P(x)$ は正確に、能率よく求められるとする。 p が極端に 0 または 1 に近いとすると $f(x_p) \approx 0$ であるから、初期値 x_0 は x_p の近くにないと、発散するかもしくは収束がずっとおそくなる。

2.4. 一松の方法による数値解法 [5]

一松の方法は前述のニュートン・ラフソン法に比べ x_i が多少 x_p からはずれても発散することがない。収束もニュートン・ラフソン法よりもよい。

$$x_{i+1} = x_i + \varepsilon_i, \quad R = f^2(x_i) - 2\{P(x_i) - p\}f'(x_i) \text{ とする} \quad (10)$$

$$\varepsilon_i = \begin{cases} -f(x_i)/f'(x_i) & R \leq 0 \text{ の場合} \\ 2\{P(x_i) - p\}/\{-f(x_i) - \sqrt{R}\} & R > 0 \text{ の場合} \end{cases}$$

(9) もしくは (10) も収束しない場合、 $P(x_i) - p$ がある程度まで小さくなるまで試行錯誤法を用いて x_i を定め、その後で (9), (10) による収束をはじめるとよい。

2.5. 連立常微分方程式の数值解法による方法 [3]

連立常微分方程式について

$$\begin{cases} \frac{df}{dx} = g(x)f \\ \frac{dP}{dx} = f \end{cases} \quad (11)$$

独立変数を P にかえて確率積分の逆関数 k について

$$\begin{cases} \frac{dx}{dP} = \frac{1}{f} \\ \frac{df}{dP} = \frac{df}{dx} \cdot \frac{dx}{dP} = g(x) \end{cases} \Leftrightarrow x'' = -(x')^2 g(x) \quad (12)$$

を解く問題にかえることができる。初期条件 $P=p_0$ のときの正確なパーセント点 x_0 とそこにおける密度関数値 $f(x_0)$ 、および p を与えることにより、パーセント点を得る。

2.6. 漸化式による確率積分と密度関数 [1]

ニュートン・ラブソン法、一松の方法を用いる場合の注意を述べておく。 χ^2 , t , F 分布の確率積分を計算する

と次の漸化式を用いると、積分値と同時に密度関数も容易に得ることがわかる。以下その漸化式を掲げる。

(χ^2 分布)

$$\left\{ \begin{array}{l} Q(\chi^2; \nu) = Q(\chi^2; \nu-2) + S_\nu \\ S_\nu = \frac{\chi^2}{\nu-2} S_{\nu-2} \end{array} \right. \quad (13)$$

$$Q(\chi^2; 1) = 2\{1 - \Phi(\chi)\} \quad S_1 = \sqrt{\frac{2}{\pi \chi}} e^{-\frac{\chi^2}{2}}$$

$$Q(\chi^2; 2) = e^{-\frac{\chi^2}{2}} \quad S_2 = e^{-\frac{\chi^2}{2}}$$

$$\therefore \text{?} \quad Q(\chi^2; \nu) = \int_{\chi^2}^{\infty} f(\chi^2; \nu) d\chi^2, \quad f(\chi^2; \nu) = \frac{1}{2} S_\nu$$

(t, F 分布)

t, F 分布の確率積分はベータ分布の確率積分（パラメータが $1/2$ の整数倍）に帰着されることがわかる。

$$\left\{ \begin{array}{l} I_x(a+1, b) = I_x(a, b) - \frac{1}{a} U(a, b) \\ I_x(a, b+1) = I_x(a, b) + \frac{1}{b} U(a, b) \\ U(a+1, b) = U(a, b) (a+b)x/a \\ U(a, b+1) = U(a, b) (a+b)(1-x)/b \end{array} \right. \quad (14)$$

$$I_x(\frac{1}{2}, \frac{1}{2}) = 1 - \frac{2}{\pi} \tan^{-1} \sqrt{\frac{1-x}{x}} \quad U(\frac{1}{2}, \frac{1}{2}) = \frac{1}{\pi} \sqrt{x(1-x)}$$

$$I_x(\frac{1}{2}, 1) = \sqrt{x} \quad U(\frac{1}{2}, 1) = \frac{1}{\pi} \sqrt{x}(1-x)$$

$$I_x(1, \frac{1}{2}) = 1 - \sqrt{1-x} \quad U(1, \frac{1}{2}) = \frac{1}{\pi} x \sqrt{(1-x)}$$

$$I_x(1, 1) = x \quad U(1, 1) = x(1-x)$$

$$\therefore \text{?} \quad U(a, b) = 1 / B(a, b) x^a (1-x)^b$$

$$I_x(a, b) = \int_0^x t^{a-1} (1-t)^{b-1} dt \quad \text{である。}$$

§ 3. 確率積分の逆関数の検討

3.1. 逆転法(1)による t 分布の近似式

自由度 ν の t 分布の平均は 0, 分散は $\nu/(\nu-2)$ である, 自由度が大きくなると正規分布に近づくことから

$$t/\sqrt{\nu/(\nu-2)} \sim N(0, 1^2)$$

である t 分布のパーセント点、 $t(Q, \nu)$ の近似式

$$t(Q, \nu) \doteq \sqrt{\frac{\nu}{\nu-2}} U(Q) \quad (15)$$

を得る。ただし $U(Q)$ は標準正規分布の上側 $100Q$ パーセント点である。また、 $\sqrt{x}/\nu \sim N(1 - \frac{1}{4\nu}, \frac{1}{2\nu})$ を利用して(2)を適用すると、

$$t(Q, \nu) \doteq U(Q) \left\{ \left(1 - \frac{1}{4\nu}\right)^2 - \frac{1}{2\nu} U^2(Q) \right\}^{-\frac{1}{2}} \quad (16)$$

を得る。これらの近似のよさについては [1] の (5) 1969. 2. に詳しく述べられていく。

3.2. 逆転法(2)による t 分布の近似式

t 分布の密度関数の対数をとり、ベータ関数をガンマ関数であらわし、

$$\ln T(\nu) = \frac{1}{2} \ln 2\pi + (\nu - \frac{1}{2}) \ln \nu - \nu + \sum_{i=1}^{\infty} \frac{(-1)^{i-1} B_i}{2i(2i-1) \nu^{2i-1}}$$

B_i はベルヌーイ数, $B_1 = \frac{1}{6}$, $B_2 = \frac{1}{30}$, ...

を代入, 整理して項別積分を行なうと, (3) に対応する式

$$P(t; \nu) = \bar{\Phi}(t) - t \phi(t) \sum_{i=1}^{\infty} \frac{1}{\nu^i} T_i(t) \quad (16)$$

$$\left\{ \begin{array}{l} T_1(t) = \frac{1}{4} (t^2 + 1) \\ T_2(t) = \frac{1}{96} (3t^6 - 7t^4 - 5t^2 - 3) \\ T_3(t) = \frac{1}{384} (t^{10} - 11t^8 + 14t^6 + 6t^4 - 3t^2 - 1) \\ \vdots \end{array} \right.$$

が求められる。更に (4) と如何? (5) に 対応する式

$$P(t; \nu) = \bar{\Phi}(t_0), \quad t_0 = t + t \sum_{i=1}^{\infty} \frac{1}{\nu^i} T_i^*(t) \quad (17)$$

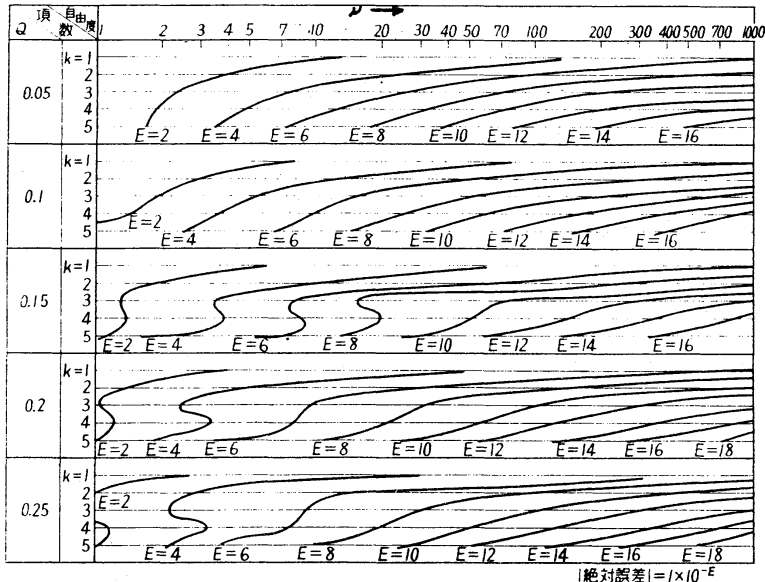
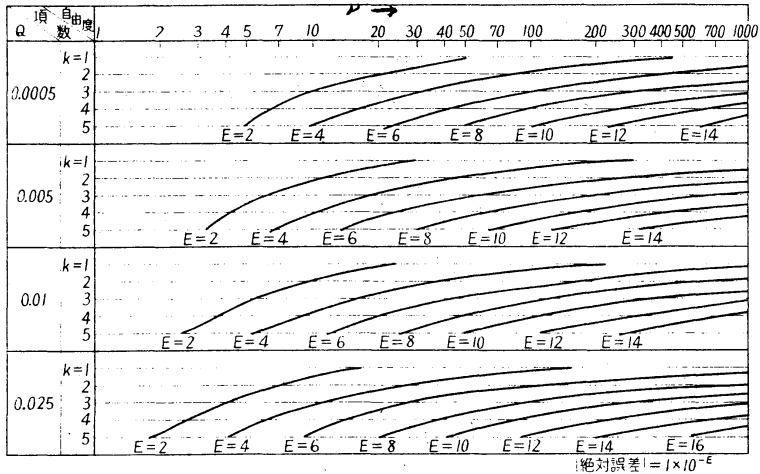
$$\left\{ \begin{array}{l} T_1^*(t) = -\frac{1}{4} (t^3 + t) \\ T_2^*(t) = \frac{1}{96} (13t^5 + 8t^3 + 3t) \\ T_3^*(t) = -\frac{1}{384} (35t^7 + 19t^5 + t^3 - 5t) \\ \vdots \end{array} \right.$$

を得る。さて, 今 (17) を逆転して,

$$t(Q, \nu) = u(Q) + \frac{1}{\nu} S_1(u(Q)) + \frac{1}{\nu^2} S_2(u(Q)) + \dots \quad (18)$$

$$\left\{ \begin{array}{l} S_1(u) = \frac{1}{4} (u^3 + u) \\ S_2(u) = \frac{1}{96} (5u^5 + 16u^3 + 3u) \\ S_3(u) = \frac{1}{384} (3u^7 + 19u^5 + 17u^3 - 5u) \\ \vdots \end{array} \right.$$

なる逆関数が求められる。



$$t(Q, \nu) = U(Q) + \sum_{i=1}^k \frac{1}{\nu_i} S_i(U(Q)) \text{ の誤差曲線}$$

3.3. ニュートン・ラブソン法によるパーセント点

正規分布の上側確率 $100Q$ パーセント点 $U(Q)$ をニュートン・ラブソン法で求めた。このとき初期値は 0.5 をざみにくくえて与えてみた。次の表は初期値を大きく、また小さくしてい

、たとき、はじめに発散します、たときの初期値として許され3値の上限と下限を示してい3. この表から正規分布の場合には初期値として大きな値をとると、小さな値を与えるより発散する可能性が高いことがわかる。

ニードン・ラブソン法による初期値の上限と下限

Q	真値	初期値の下限	初期値の上限
1.0 ₁₀ -2	2.326	-1.5	3.5
1.0 ₁₀ -5	4.265	-1.5	5.0
1.0 ₁₀ -8	5.612	-2.0	7.0
1.0 ₁₀ -11	6.706	-2.0	7.5
1.0 ₁₀ -14	7.651	-2.0	8.5
1.0 ₁₀ -17	8.494	-2.0	9.5
1.0 ₁₀ -20	9.262	-2.0	10.0
1.0 ₁₀ -23	9.973	-2.0	10.5

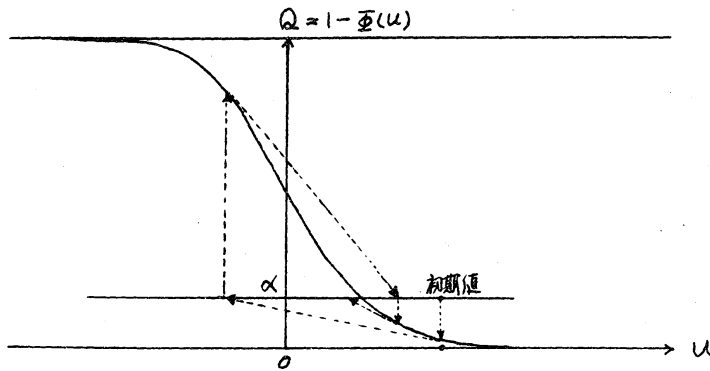
3.4. 一松の方法による3パーセント点

つづいて一松の方法に対する同じ実験を行なう、た。

一松の方法による初期値の上限と下限

Q	真値	初期値の下限	初期値の上限
1.0 ₁₀ -2	2.326	-3.0	4.5
1.0 ₁₀ -5	4.265	-3.0	6.0
1.0 ₁₀ -8	5.612	-3.0	7.0
1.0 ₁₀ -11	6.706	-3.0	8.0
1.0 ₁₀ -14	7.651	-3.0	9.0
1.0 ₁₀ -17	8.494	-3.5	9.5
1.0 ₁₀ -20	9.262	-3.5	10.5
1.0 ₁₀ -23	9.973	-3.5	11.0

これらの結果は分布関数から十分予測できる。



上図の場合収束するが、もう少し初期値が右にあると発散してしまうことになる。逆にかもう少し大きさくとも発散する。

3.5. 建立常微分方程式の数值解

正規分布関数の逆関数をルンゲ・クッタ・ジル法を用いて解いた。

$$\begin{cases} \frac{du}{d\Phi} = \frac{1}{\phi} \\ \frac{d\phi}{d\Phi} = -u \end{cases} \Leftrightarrow \frac{d^2u}{d\Phi^2} = \left(\frac{du}{d\Phi}\right)^2 \cdot u$$

初期条件 $\begin{cases} u=0 \\ \Phi=0.5 \end{cases}$ $\phi(0)=\frac{1}{\sqrt{2\pi}}$ 誤差限界 0.001			初期条件 $\begin{cases} \Phi=0.95 \\ u=1.64485362695147 \end{cases}$ 誤差限界 0.0001		
Φ	誤差	真値	Φ	誤差	真値
0.6	-2.0 ₁₀ -13	0.253347...	0.96	-1.3 ₁₀ -13	1.76668...
0.7	-7.0 ₁₀ -13	0.524400...	0.97	-6.5 ₁₀ -13	1.88079...
0.8	-3.6 ₁₀ -12	0.841621...	0.98	-3.8 ₁₀ -12	2.05374...
0.9	-6.1 ₁₀ -11	1.28155...	0.99	-6.5 ₁₀ -11	2.33011...
0.95	-1.0 ₁₀ -9	1.64485...	0.995	-9.7 ₁₀ -10	2.7582...
0.99	-5.8 ₁₀ -7	2.32634...	0.999	-5.3 ₁₀ -7	3.09023...

§4. 山内流の逆転法 (Campbell の方法)

次のような問題に対して従来行なわれてゐる近似法の近似の程度が、山内流の逆転法により式の形で詳しく述べられる。

問題 片側で検定の検出力と非心度を求めること。

x_1, x_2, \dots, x_N を $N(\mu, \sigma)$ からの大きさ N の標本とする。

$$\bar{x} = \frac{1}{N} \sum_{i=1}^N x_i, \quad S = \sum_{i=1}^N (x_i - \bar{x})^2, \quad \hat{\sigma} = \sqrt{\frac{S}{n}}, \quad n = N - 1 + 3.$$

帰無仮説 $H_0: \mu = \mu_0$ (オ 1 種の過誤 α)

対立仮説 $H_1: \mu = \mu_1$ (オ 2 種の過誤 β)

棄却域 $R: \bar{x} - \mu_0 \geq t(\alpha, n) \frac{\hat{\sigma}}{\sqrt{n}}$

ここで $t(\alpha, n)$ は自由度 n の t 分布で片側確率 α の $1 - \alpha$ ペンント点である。

- 1) オ 1 種の過誤 α をきめ、非心度 δ を与えて検出力 $P = 1 - \beta$ を求める場合。
- 2) オ 2 種の過誤 β をきめ、検出力 $P = 1 - \beta$ を得るよりは非心度 δ を求める場合。

の 2 通りの問題を考える。

式の形で以上のことを表現すると、

$$P(t, n, \delta) = \int_0^\infty \frac{1}{\Gamma(\frac{n}{2})} \left(\frac{x^2}{2}\right)^{\frac{n}{2}-1} e^{-\frac{x^2}{2}} d\left(\frac{x^2}{2}\right) \int_{\frac{t+\delta}{\sqrt{n}}}^\infty \frac{1}{\sqrt{2\pi}} \exp\left\{-\frac{(u-\delta)^2}{2}\right\} du \quad (19)$$

$$= 1 - \beta$$

$$P(t, n, \alpha) = \int_0^\infty \frac{1}{P(\frac{n}{2})} \left(\frac{x^2}{2}\right)^{\frac{n}{2}-1} e^{-\frac{x^2}{2}} d\left(\frac{x}{2}\right) \int_{\frac{t}{\sqrt{n}}x}^\infty \frac{1}{\sqrt{2\pi}} e^{-\frac{u^2}{2}} du \\ = \alpha$$

K 3 1 2

1) は n, α, δ から x を求め $1 - \beta = \int_x^\infty \frac{1}{\sqrt{2\pi}} e^{-\frac{u^2}{2}} du$ が β
 $1 - \beta$ を算出する,

2) は $n, \alpha, 1 - \beta$ が $1 - \beta = \int_x^\infty \frac{1}{\sqrt{2\pi}} e^{-\frac{u^2}{2}} du$ を満たす x を求め
 δ を算出する,

と 1 3 問題 K な。

山内流のやり方 [4]

$$\frac{d}{dt} P(t, n, \delta) = -\frac{1}{\sqrt{2\pi}} \exp \left\{ -\frac{1}{2}(t-\delta)^2 \right\} \cdot \left\{ 1 + \sum_{k=1}^{\infty} \frac{1}{k! (4n)^k} U_k \right\} \quad (21)$$

 $\therefore z = \tau = t - \delta$ とおこう

$$U_1 = \tau^2 (\tau + \delta)^2 - (\tau + \delta)^2 - \tau (\tau + \delta) - 1$$

$$U_2 = \tau^4 (\tau + \delta)^4 - 6\tau^2 (\tau + \delta)^4 - \frac{10}{3} \tau^3 (\tau + \delta)^3 \\ + 3(\tau + \delta)^4 + 10\tau (\tau + \delta)^3 - 3\tau^2 (\tau + \delta)^2 \\ + 3(\tau + \delta)^2 + \tau (\tau + \delta) + 1$$

$$U_3 = \dots$$

を求めておく。

$$P(t, n, \delta) = 1 - \beta = \int_{-\infty}^{\infty} \frac{1}{\sqrt{2\pi}} \exp\left\{-\frac{u^2}{2}\right\} du を満たす x を$$

$$x = \tau + \frac{1}{1!4n} c_1 + \frac{1}{2!(4n)^2} c_2 + \frac{1}{3!(4n)^3} c_3 + \dots \quad (22)$$

とおこう。 c_1, c_2, c_3, \dots を定めよ。

$$c'_1 = \frac{dc_1}{dt}, \quad c'_2 = \frac{dc_2}{dt}, \dots \text{とおこう}$$

$$c'_1 - u_1 = \tau c_1$$

$$c'_2 - u_2 - c_1 \{ \tau(c'_1 + u_1) + c_1 \} = \tau c_2$$

⋮

で3関係式を求めよ。 c_1, c_2, \dots を決定する。

$$x = \tau - \frac{1}{1!4n} [\tau t^2 + t]$$

$$+ \frac{1}{2!(4n)^2} [3\tau t^4 + \frac{4}{3}\tau^2 t^3 + \frac{2}{3}t^3 + 2\tau t^2 + t]$$

⋮

(23)

が得られる。

さて上式を逆転し求められよ。

1) の場合

a. 正規近似 1

$$\chi = \frac{-\delta + t}{\sqrt{1 + \frac{t^2}{2n}}} \quad (24)$$

b. 正規近似 2

$$\chi = \frac{-\delta + t \sqrt{1 - \frac{1}{2n}}}{\sqrt{1 + \frac{t^2}{2n}}} \quad (25)$$

c. 山内の近似

$$\begin{aligned} \chi &= \tau - \frac{1}{1!4n} [\tau t^2 + t] \\ &\quad + \frac{1}{2!(4n)^2} [3\tau t^4 + \frac{4}{3}\tau^2 t^3 + \frac{2}{3}t^2 + 2\tau t^2 + t] \\ &\quad \cdots \end{aligned} \quad (26)$$

近似の詳細

(24) は (26) と [] 内の第 1 項のみをとったものであり、(25) は (26) と [] 内の第 1 項は一致し、 $1/(4n)$ のオーダーで (26) は [] 内が完全に一致している。

2) の場合

a. 正規近似 1

$$\delta = t - \chi \sqrt{1 + \frac{t^2}{2n}} \quad (27)$$

(Johnson & Welch)

b. 正規近似 2

$$\delta = t \sqrt{1 - \frac{1}{2n}} - \chi \sqrt{1 + \frac{t^2}{2n}} \quad (28)$$

c. 山内の近似 $\delta = t - x$

$$\begin{aligned}
 & + \frac{1}{1!(4n)} [-xt^2 - t] \\
 & + \frac{1}{2!(4n)^2} [xt^4 + \frac{4}{3}x^2t^3 - \frac{4}{3}t^5 + 2xt^2 + t] \\
 & + \frac{1}{3!(4n)^3} [-3xt^6 - 8x^2t^5 + 8t^7 - 6xt^4 \\
 & \quad + 4x^2t^2 - 4t^3 + 12xt^2 + 15t] \\
 & + \dots \tag{29}
 \end{aligned}$$

近似の評価

(27), (29) で [] 内の第 1 項のみを、残りの , 及び (28) は

$$\delta = t - x + \frac{1}{4n} [-xt^2 - t] + \frac{1}{2!(4n)^2} [xt^4 - t] + \frac{1}{3!(4n)^3} [-3xt^6 - 3t] + \dots$$

と書いて、 $1/(4n)$ の項 - 7" まで完全に一致している。

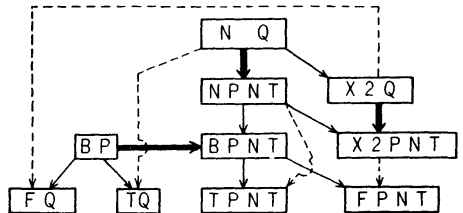
§. 5. 統計分布に関するライブラリィ

研究を目的として統計分布のライブラリィとしては、確率分布の積分値やパーセント点が精度よくしかも広範囲のパラメータに対し求められることが要請される。その要求を満たす効率の良いライブラリィ構成の一例を下図に示す。

先の4つの分布の間には深い関連があり、それらの確率積分やパーセント点を計算するとき、それぞれを独立にサブルーチンとして登録しておき、適宜それらをよびだして使うようにするとよい。たとえば χ^2 分布の確率積分において、自由度が奇数であれば正規分布の確率積分が必要になるし、自由度が無限大の F 分布は χ^2 分布であり、また自由度が1の F 分布は t 分布になっている。さらに χ^2 分布、 t 分布、 F 分布のパーセント点を求める場合の初期値の計算には正規分布のパーセント点が必要となる。

ライブラリィに登録するサブルーチンは①正規分布、② χ^2 分布、③ t 分布、④ F 分布のそれぞれの確率積分とパーセント点の合計8つのサブルーチンであるが、そのうち t 分布は F 分布の特殊な場合であることを考慮し、さらに F 分布と同等なベータ分布を導入することにより▲のような結びつきを考える。

統計分布のライブラリィの構成



N Q 正規分布の上側確率積分
 N P N T 正規分布のパーセント点
 X 2 Q χ^2 分布の上側確率積分
 X 2 P N T χ^2 分布のパーセント点
 T Q t 分布の上側確率積分
 T P N T t 分布のパーセント点
 F Q F 分布の上側確率積分
 F P N T F 分布のパーセント点
 B P ベータ分布の確率積分
 B P N T ベータ分布のパーセント点

太い矢印の部分は反復してコールすることを示し、あとの矢印は一度コールするだけでよい結びつきを示している。

[参考文献]

- [1] 戸田・清水・竹内：統計分布と電子計算機 (1) (2) (3)
 (4) (5) (6) (11) (18) 「標準化と品質管理」 1968. 9, 11, 12,
 1969. 1, 2, 3, 8, 1970. 4. 日本規格協会
- [2] Toda H., Shimizu T., Takeuchi J. (1969): Notes on the approximations to the statistical distributions, Proc. of ICAC'69-Tokyo

- pp. 527-530.
- [3] 吉沢 正：統計分布と電子計算機 (4) (15)^T 標準化と
品質管理，1969. 12, 1970. 1. 日本規格協会。
- [4] 山内 二郎：講義 1-1
- [5] Hitotumatu S. (1962) : A method of successive approximation
based on the expansion of second order, Math. Japonicae. 7.
- pp. 31-50.
- [6] Geary R. C. (1930) : The frequency distribution of the quotient
of two normal variables, Journal of Roy. Stat. Soc.
Vol. 93. pp 442.
- [7] Campbell G. A. (1923) : Probability curve showing Poisson's
exponential summation, Bell System Tech. Journal Vol. 2.
- pp. 95-113.